

I-436

## 気象庁1倍強震計記録による長周期地震動の距離減衰特性

建設省土木研究所 正員 相沢 興  
 " 正員 佐々木康  
 " 正員 田村敬一

## 1.はじめに

気象庁1倍強震計記録（以下、JMA記録と呼ぶ）を用いた長周期地震動の距離減衰特性の検討結果を報告する。本小文では、これまでの検討<sup>1)</sup>に用いた記録に1978年の宮城県沖地震による記録を追加している。

## 2. 検討対象

検討対象は、JMA記録から求めた固有周期Tおよび減衰定数hの加速度応答スペクトルS<sub>a</sub>(T, h)の距離減衰特性であり、Tは2~20秒間の13周期、hは0.02, 0.05の2種類とした。また、水平2成分のS<sub>a</sub>(T, h)うち大きい方の値を検討対象とした。検討に用いた記録は表1に示すとおりである。マグニチュードMの範囲は7.1~7.9であるが、7.4と7.5の地震による記録が全体の約6割を占めている。各観測点までの震央距離Δ[km]の範囲は70~600km程度であり、その大部分は150~500kmの間である。また、岡田・鏡味による各観測点の揺れやすさの指標Xi<sup>2)</sup>とともに観測点の地盤の影響を考慮し、観測点をG1(揺れにくい:Xi<0.67), G2(平均的:0.67≤Xi<1.5), G3(揺れやすい:1.5≤Xi)の3グループに分類した。なお、記録の数値化、計器補正(補正範囲は2~20秒)および変位から加速度を算出する計算方法の詳細については文献3)に述べた方法によった。

## 3. 長周期地震動の距離減衰特性

解析結果から得られるS<sub>a</sub>(T, h)の距離減衰の一般的な特徴は以下の通りである。

1) S<sub>a</sub>(T, h)の値は同一地震の同程度のΔであってもかなり広い範囲でばらついているが、Δが大きくなるとおおむねS<sub>a</sub>(T, h)の値も小さくなる。 2) S<sub>a</sub>(T, h)の値はおおむねMの増加に伴い大きくなり、また、Tが長くなるとMによる差が大きくなる。しかしながら、S<sub>a</sub>(T, h)のばらつきが大きいため、この関係が逆転するものもある。

このようなS<sub>a</sub>(T, h)～M～Δの関係を既往のSMAC型強震計記録（以下、SMAC記録と呼ぶ）による距離減衰式<sup>4)</sup>を参考にして次式で仮定する。

$$S_a(T, h, M, \Delta, G_i) = a(T, h, G_i) \times 10^{b(T, h, G_i)M} \times (\Delta + 30)^c(T, h, G_i) \quad \dots \quad (1)$$

ここで、固有周期T、観測点グループG<sub>i</sub>、マグニチュードMおよび震央距離Δは上記2.に示した通りであり、係数a, b, cは各T, hおよびG<sub>i</sub>ごとに定まる係数である。h=5%の場合について式(1)の係数a, b, cを重回帰分析により求めた結果を示すと図1のようになる。なお、図1には推定式の標準誤差σ (= √[Σ {log(実測S<sub>a</sub>/予測S<sub>a</sub>)<sup>2</sup>} / [データ数-回帰式の自由度(2-1)]])を合わせて示すとともに、SMAC記録の結果(観測点の地盤条件の分類はJMA記録の場合と異なる)も参考に示してある。

係数a, b, cをもとにS<sub>a</sub>(T, h)の距離減衰の特徴を示すと以下のようになる。

1) M～log(Δ+30)間の相関係数は0.183と小さいため、bの推定に与えるlog(Δ+30)もしくはcの推定に与えるMの影響は小さいと考えられる。Mの平均Mは7.53, log(Δ+30)の平均log(Δ+30)は2.49であり、bもしくはcの変動がaの変動に及ぼす影響の度合は、M/log(Δ+30)≈3であるので、bの方がcの約3倍程度大きいと考えられる。 2) bの範囲は全周期では、0.3~1.6である。T<7秒では0.4~0.8であり、G3を除くとT>7秒で、bは単調に増加し、T>10秒でb>1と大きい。また、bとaの間には負の相関が認められる。 3) cの範囲は全周期では-2.0~-0.4であり、T<10秒では、Tが長くなるとcはおおむね単調に増加する。

表1 解析に用いた記録

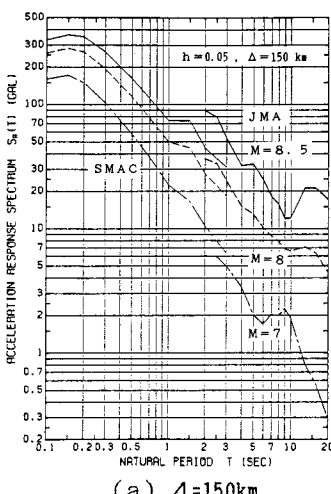
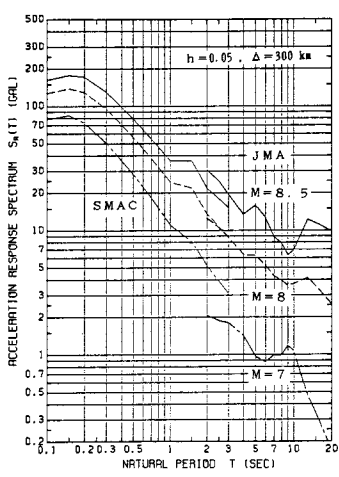
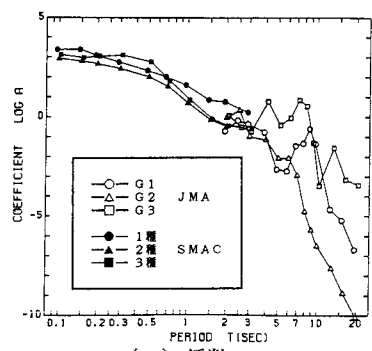
地 震 名	マ グ ニ チ ュ ー ド M	記録数	地盤分類ごとの記録数		
			G1	G2	G3
1964年新潟地震	7.5	23	5	12	6
1968年日向灘地震	7.5	14	3	9	2
1968年十勝沖地震	7.9	13	6	6	1
同上最大余震	7.5	3	2	1	0
1978年宮城県沖地震	7.4	17	3	7	7
1983年日本海中部地震	7.7	20	8	9	3
同上最大余震	7.1	7	2	2	3
合計		97	29	46	22

- 4) 2), 3)より、 $T < 10$ 秒では、 $T$ が長くなるに従って震央距離による $S_a(T, h)$ の減衰は小さくなり、 $T > 10$ 秒では、 $M$ による $S_a(T, h)$ の変動が大きく、 $M$ が1增加すると $S_a(T, h)$ は10倍以上となる。
- 5)  $\sigma$ の範囲は全周期では0.17~0.35である。 $T=7$ 秒前後で最小となり、 $T > 7$ 秒では、 $T < 7$ 秒より大きな増加傾向がある。6) 全体として係数 $a, b, c$ および $\sigma$ には、 $G_i$ による系統的な差は認めがない。

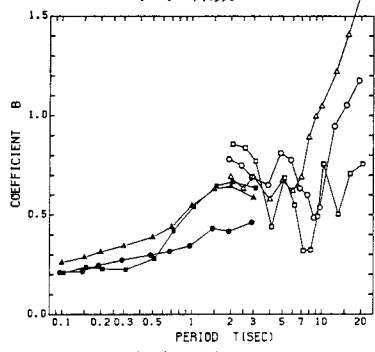
上記1)~6)の特徴は減衰2%の場合にも同様である。また、JMA記録は既往のSMAC記録による結果とは対象としている周期範囲が異なるため直接比較することはできないが固有周期による各係数の変動はJMA記録の方が大きい。ここで、 $M=7, 8, 8.5$ ,  $\Delta=150$ , 300km,  $h=5\%$ , G1の $S_a(T, h)$ の推定結果を示すと図2のようになる。これより、JMA記録による $S_a(T, h)$ は $T$ が長くなるに従っておむね単調に減少するが、 $T > 10$ 秒では $M$ の影響が大きいため、 $M=8, 8.5$ では $S_a(T, h)$ が増加する傾向が認められる。この傾向はG2, G3の場合も同様であり、推定された $SA(T, h)$ のレベルはG1, G2, G3の順に大きくなる。

#### 【参考文献】

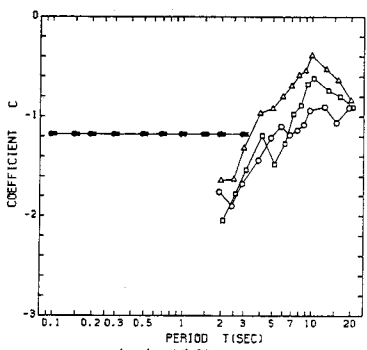
- 相沢ほか：気象庁1倍強震計記録による長周期地震動の距離減衰特性、土木学会年次講演会概要集、第42回。
- 岡田・鏡味：日本各地におけるやや長周期の地盤特性の定量評価の試み、日本建築学会論文報告集、第267号。
- 建設省土木研究所：気象庁1倍強震計記録に基づく長周期地震動特性の解析、土研資料、第1869, 2245, 2387, 2493号。
- 川島ほか：最大地震動及び地震応答スペクトルの距離減衰式、土研報告、第166号。

(a)  $\Delta=150$ km(b)  $\Delta=300$ km図2  $SA(T, h=5\%)$ の推定例 (G1の場合)

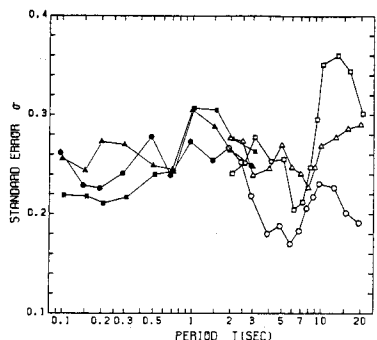
(a) 係数 a



(b) 係数 b



(c) 係数 c

(d) 標準誤差  $\sigma$ 図1 式(1)の係数 $a, b, c$ および標準誤差 $\sigma$